

## II-161 淡塩二層地盤内の海水取水円形暗きよによる淡塩境界面.

九州大学工学部 正会員 上田年比古 Ⓜ 杉尾 哲

1. まえがき、 海岸地帯の均一な透水性の地盤内において、地表部分に淡水があり、その下部は海水で飽和されている場合に、その海水で飽和されている部分に円形暗きよを設けて海水を取水し、淡塩境界面を部分的に低下させることを考える。解析手法としては Zhoukowsky 関数を用いて未知の淡塩境界面を直線境界に写像し、この写像後の領域を Schwarz-Christoffel 变換などによって半無限領域内に写像すれば、円形暗きよへのポテンシャル流が無限領域に流入点が 2 個ある場合のポテンシャル流に写像でき、淡塩境界面の形状と暗きよ取水量との関係などを知ることができます。

2. Zhoukowsky 関数. Darcy の法則がなりたつ範囲の二次元定常浸透流の解析に複素ポテンシャルを用ひると非回転定常流の基礎理論と Darcy の式より、図-1 の領域では  $\Phi = \Phi_0 \{ (P/w_s) + y \}$  —— (1)

がなりたつ。ここで  $w_f$ : 海水の単位体積重量、  $w_s$ : 淡水の単位体積重量である。

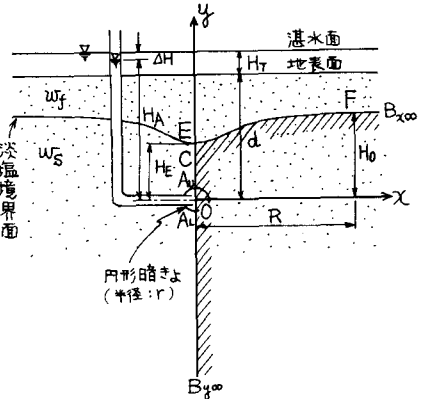


図-1 Z-平面.

したがって  $\theta_1 = \Phi - \Phi_0 y$  —— (2) で表わされる関数を導入すれば、淡塩境界面は  $\theta_1$ -平面内では  $\theta_1 = \text{const}$  の直線に写像される。ここで  $\theta_1$  の実部関数  $\theta_2$  は  $\theta_2 = \Psi + \Phi_0 x$  —— (3) となり、次式をうる。 $\theta = \theta_1 + i\theta_2 = \Psi + i\Psi_0 + i\Phi_0 x + i\Phi_0 y = W + iR\epsilon z$  —— (4)

この式-(4)を使って Z-平面、W-平面、θ-平面の対応を求めるとき下表のようになる。

次に y 軸上 (ED 区間) の  $\theta_1$  の変化を調べてみると、 $\partial\theta_1/\partial y = \Phi_0 \{ (\partial P/\partial y)/w_s + 1 - \epsilon \}$  —— (5)

ここで E 点は端点であり、E 点より下で E 点の近傍では浸透流速がきりめて小さくから静水圧分布がなりたる、 $(\partial P/\partial y)/w_s = 1$  したがって E 点の近傍では  $\partial\theta_1/\partial y = -\Phi_0 < 0$  となる。E 点より y 軸に沿って D 点へ向うとき、図-2 に示すように  $\theta_1 > \theta_{1E}$  の部分が生ずる。しかし E 点よりは下るに従って流速が大きくなつてくから、 $(\partial P/\partial y)/w_s$  は  $[-1 \rightarrow 0]$  となる。 $\partial\theta_1/\partial y$

位置	淡塩境界		暗きよ中心線		
	F 点	F ~ E	E 点	E ~ Au	Au ~ By <sub>∞</sub>
Z-平面	$x=R, y=H_0$	$x, y$	$x=0, y=H_E$	$x=0, y$	$x=0, y$
W-平面	$\Phi = \Phi_0(1-\epsilon)(H_T+d) + \Phi_0 H_0$ $\Psi = \Psi/2$	$\Phi$ $\Psi = \Psi/2$	$\Phi = \Phi_0(1-\epsilon)(H_T+d) + \Phi_0 H_E$ $\Psi = \Psi/2$	$\Phi$ $\Psi = \Psi/2$	$\Phi$ $\Psi = 0$
θ-平面	$\theta_1 = \Phi_0(1-\epsilon)(H_T+d)$ $\theta_2 = \Psi/2 + \Phi_0 x$	$\theta_1 = \Phi_0(1-\epsilon)(H_T+d)$ $\theta_2 = \Psi/2 + \Phi_0 x$	$\theta_1 = \Phi_0(1-\epsilon)(H_T+d)$ $\theta_2 = \Psi/2$	$\theta_1$ $\theta_2 = \Psi/2$	$\theta_1$ $\theta_2 = 0$

は [負  $\rightarrow$  0  $\rightarrow$  正] を変化し、流入点 D の近傍の E 点側では  $\partial \theta_1 / \partial y = +\infty$  となる。

よって  $\partial \theta_1 / \partial y = 0$  の点を C 点とおき、2-平面のハッキの部分を写像すると、図-3 (θ-平面) のハッキの部分のようになる。

3. 写像の繰り返し、図-2 のハッキの部分を Schwarz-Christoffel の変換式により、t-平面 (図-4) の実軸の上半面に写像する。ここに E 点が  $t=0$  に、D 点が  $t=1$  にあたり B 点が  $t=\infty$  に写像されるように写像関数を求める。

$$\theta = M \int \frac{t-m^2}{\sqrt{t(t-1)}} dt \quad (6)$$

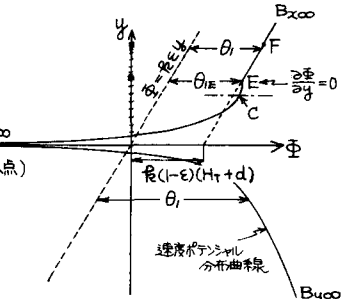


図-2.  $B_{x\infty}$  E  $B_{y\infty}$  上の速度ポテンシャル

となる。 $= i$  は複素係数である。

から  $t = -\xi^2$  — (7) とおいて、式-(6) は

$$\begin{aligned} \theta &= -2M_i \int \frac{\xi^2 + m^2}{\xi^2 + 1} d\xi = -2M_i \left\{ \xi + (m^2 - 1) \tan^{-1} \xi \right\} + C \\ &= -2M_i \xi - M(m^2 - 1) \ln \left| \frac{1 - i\xi}{1 + i\xi} \right| + C \end{aligned} \quad (8)$$

となり、式-(7) によって、t-平面の上半面は図-4 の四半平面の内部 (ハッキの部分) に写像される。ここに式-(8) の C は複素積分定数である。

ここで式-(8) は  $\theta = \theta_1 + i\theta_2$ ,  $\xi = \xi + i\eta$ ,  $M = M_1 + iM_2$  および  $C = C_1 + iC_2$  を代入して実数部と虚数部にわけると、

$$\theta_1 = 2(M_1 \eta + M_2 \xi) - (1-m^2) \cdot (M_1 R_e - M_2 I_m) + C_1 \quad (9)$$

$$\theta_2 = -2(M_1 \xi - M_2 \eta) - (1-m^2) \cdot (M_1 I_m + M_2 R_e) + C_2 \quad (10)$$

$$Re = \frac{1}{2} \ln \frac{\xi^2 + (\eta+1)^2}{\xi^2 + (\eta-1)^2} \quad (11), \quad Im = \tan^{-1} \frac{2\xi}{\xi^2 + \eta^2 - 1} \quad (12)$$

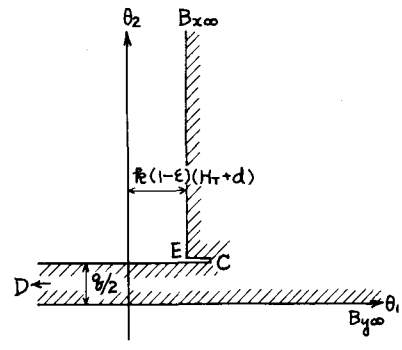


図-3 θ-平面

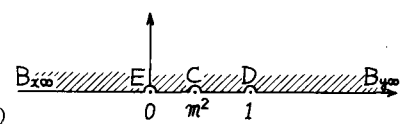


図-4 t-平面

4. 像数と定数の決定。流入点 D ( $\xi=0, \eta=-1$ ) はおこなうことは式-(11) より  $Re = -\infty$  となる。しかし  $\theta_2$  は図-3 において  $\theta_2 = \pm\infty$  であるから式-(10) より  $(1-m^2) \cdot M_2 = 0$ 。また E 点 ( $\xi = \eta = 0$ ) では式-(11) より  $Re = 0$  となる。また式-(2) より  $\theta_1 = Re(1-\varepsilon)(H_r+d)$ 。したがって式-(9) は

$$C_1 = Re(1-\varepsilon)(H_r+d) \quad となる。$$

$$C_1 = Re(1-\varepsilon)(H_r+d) \quad となる。$$

次に、式-(12) の値は y 軸上では、ED 区間も DBy∞ 区間も

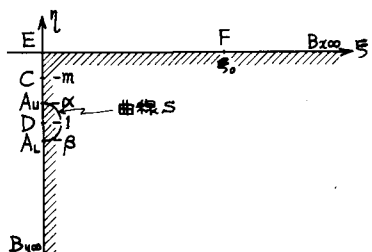


図-5 ξ-平面

$Im = \tan^{-1} 0$  であるが、図-1 の、暗きよ隔壁に相当する曲線 S に沿って  $X = 2\xi / (\xi^2 + \eta^2 - 1)$  の変化を調べてみると、 $[\xi > 0, \xi^2 + \eta^2 > 1]$  の領域で  $X > 0$ ,  $[\xi > 0, \xi^2 + \eta^2 = 1]$  上で  $X = +\infty$  と  $-\infty$ ,  $[\xi > 0, \xi^2 + \eta^2 < 1]$  の領域で  $X < 0$  であり、図-6 に示す  $X = \tan^{-1} X$  のグラフと対応させたため、ED 区間で  $Im = \pi$ , DBy∞ 区間で  $Im = 0$  と読み取る。このことより、暗きよ下端  $A_L$  ( $\xi=0, \eta=-\beta$ ) では、式-(10) より  $\theta_2 = C_2$ , 式-(3) より  $\theta_2 = 0$ , したがって  $C_2 = 0$  である。また暗きよ上端  $A_U$

( $\xi=0, \eta=-\alpha$ ) では式-(10)より  $\theta_2 = -(1-m^2) \cdot M_1 \pi$ , 式-(3)より  $\theta_2 = g/2$ ,  $l = \beta^2 > 0$   
 $M_1 = -g/2\pi(1-m^2)$  となる。これらの値を式-(9), (10)に代入し, これらは式-(9), (10)を式-(2), (3)に代入するより, 次式をうる。

$$\Phi = R \epsilon \gamma - \frac{g}{\pi(1-m^2)} \eta + \frac{g}{4\pi} \ln \frac{\xi^2 + (\eta+1)^2}{\xi^2 + (\eta-1)^2} + R(1-\epsilon)(H_T+d) \quad (13)$$

$$\Psi = -R \epsilon x + \frac{g}{\pi(1-m^2)} \xi + \frac{g}{2\pi} \tan^{-1} \frac{2\xi}{\xi^2 + \eta^2 - 1} \quad (14)$$

5. 機構ポテンシャルの式。さて、図-5 は  $\zeta$ -平面のハッセの部分を写像したもので、流れは  $B_{x\infty} \sim B_{y\infty}$  から流入点Dに向っていき、この図-5 に鏡像の原理を適用し、 $\zeta$ -軸に離してD点と対称な位置に同じ強さの流入点を考えると、図-5 のポテンシャル流は、無限大領域に流入点がない場合のポテンシャル流であり、機構ポテンシャルの式は次式で与えられる。

$$W = \Phi + i\Psi = (g/2\pi) \ln(\zeta+i)(\zeta-i) + \mu \quad (15)$$

この式に  $\zeta = \xi + i\eta$  を代入し、実数部と虚数部にわけると。

$$\Phi = (g/4\pi) \cdot \ln \{ \xi^2 + (\eta-1)^2 \} \{ \xi^2 + (\eta+1)^2 \} + \mu_1 \quad (16)$$

$$\Psi = \frac{g}{2\pi} \tan^{-1} \frac{2\xi\eta}{\xi^2 - \eta^2 + 1} + \mu_2 \quad (17)$$

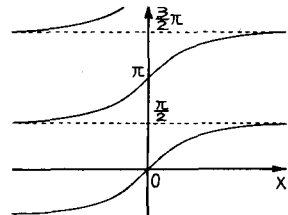


図-6  $\tan^i x$  のグラフ

いまE点 ( $\xi=\eta=0$ ) について考えると、式-(16)より  $\Phi = \mu_1$ , 式-(1)より  $\Phi = R(1-\epsilon)(H_T+d) + R\epsilon H_E$ 。  
 $\therefore \mu_1 = R(1-\epsilon)(H_T+d) + R\epsilon H_E \quad (18)$

また式-(17)より  $\Psi = g/2 + \mu_2$ , 図-1より  $\Psi = g/2 \quad \therefore \mu_2 = 0 \quad (19)$

これら式-(18), (19)を式-(16), (17)に代入してえられるが、 $\Psi$  は式-(13), (14)の  $\Psi$ ,  $\Psi$  と同値であり、

$\zeta$ -平面を媒介として  $W$ -平面と  $\zeta$ -平面を一一対一に対応づけらる事ができる。したがって、 $\zeta$ -平面、 $\zeta$ -平面および  $W$ -平面の各点の境界条件を与えることにより、物理量  $R, r, d, H_A, H_E, H_0, H_T$  および  $g$  の関係式がえられる。

## 6. 淡塙界面の形状と取水量との関係式。

AU点 式-(16) に  $\xi=0, \eta=-\alpha$ ,  $\Phi = R H_A$  を代入し整理すると

$$R\epsilon H_E = R H_A - R(1-\epsilon)(H_T+d) - (g/2\pi) \cdot \ln(1-\alpha^2) \quad (20)$$

また式-(13)に  $y=r$  を代入すると  $\frac{g\alpha}{\pi(1-m^2)} = \frac{g}{2\pi} \ln \frac{1+\alpha}{1-\alpha} - R\{(1-\epsilon)(H_T+d) - (H_A + \epsilon r)\} \quad (21)$

AL点 式-(13)に  $\xi=0, \eta=-\beta$ ,  $\Phi = R H_A, y=-r$  を代入し整理すると。

$$\frac{g}{R} = \frac{2\pi \{(1-\epsilon)(H_T+d) - (H_A + \epsilon r)\} (1-m^2)}{(1-m^2) \ln \{ (\beta+1)/(\beta-1) \} - 2\beta} \quad (22)$$

また AU点と AL点は等ポテンシャルであることから、式-(16)より  $\beta^2 = 2 - \alpha^2 \quad (23)$

F点：淡塙界面が暗きよ取水前の淡塙界面の高さに回復する位置 ( $\xi = \xi_R, \eta = 0$ )

$$\Phi = R H_0 \quad \text{を式-(16)に代入すると} \quad \xi_R = \sqrt{e^{R\epsilon(H_0-H_E) \cdot 2\pi/g} - 1} \quad (24)$$

$$\text{式-(14)} \quad \text{if } x=R \text{ を代入すると, } RER = \frac{g}{\pi(1-m^2)} + \frac{g}{2\pi} \tan^{-1} \frac{2ER}{m^2 - 1} - \frac{g}{2} \quad (25)$$

以上の解析式より求めた  $g$ ,  $HE$  と  $m^2$  を式-(13), (14), (16) および (17) に代入すれば淡塩界面の形状が求まる。なお、式-(16)は  $\xi \rightarrow \infty$  では  $\Phi \rightarrow \infty$  となること、式-(13)より  $y \rightarrow \infty$  となり実際の淡塩界面と矛盾を生ずる。したがって  $x > R$  の領域には以上の解析式は適用できません。ここでは井戸の理論と同様に、 $x > R$  の範囲の淡塩界面は  $y = H_0$  の一定値をもつものとして取扱う。

## 7. 数値解析

いま  $r/d = 0.01$ ,  $H_0/d = 0.8$ ,  $H_T/d = 0.2$  の場合の算定結果を図-7 に示す。

$$z = i = \Delta H/d = (H_T/d - H_A)/d = 0.035$$

$\sim 0.10$  であり、AA 線に沿って数値は各  $\Delta H/d$  の値のときに取りうる  $HE/d$  (淡塩界面最低点の高さ) の最小値を示すものであり、 $HE/d$  がこの値より小さくなると上部の淡水が暗きよ内に吸い込まれるところとなる。この値は  $\Delta H/d$  を大きくするほど大きくなっている。また  $\Delta H/d$  が大きいほど淡水を吸い込みやす

いことがわかる。次に図-8 に各  $\Delta H/d$

において取りうる  $HE/d$  と  $g/Rd$  の最小値および  $R/d$  の最大値を示している。この図より  $\Delta H/d$  が一定の場合の  $H_T/d = 0$  および  $r/d = 0.01$  と  $0.1$  の値を比較すれば、湛水深が大きいほどあるいは暗きよ径が小さいほど境界面が低下する範囲  $R/d$  が大きく、境界面の最低点の高さ  $HE/d$  が低いことがわかる。以上の解析結果より、淡塩界面を広範囲に、十分な深さまで低下させることは、暗きよ径を小さくするか暗きよ埋設深さを大きくし、湛水面を高くしておることできただけ小さな水頭差で海水を取り入れようが同じことになる。

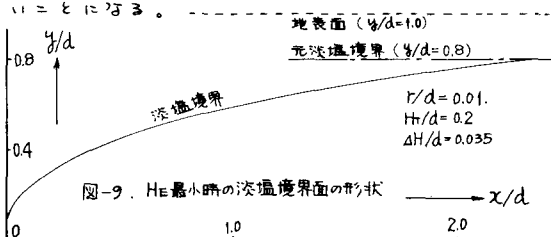


図-9. HE 最小時の淡塩界面の形状

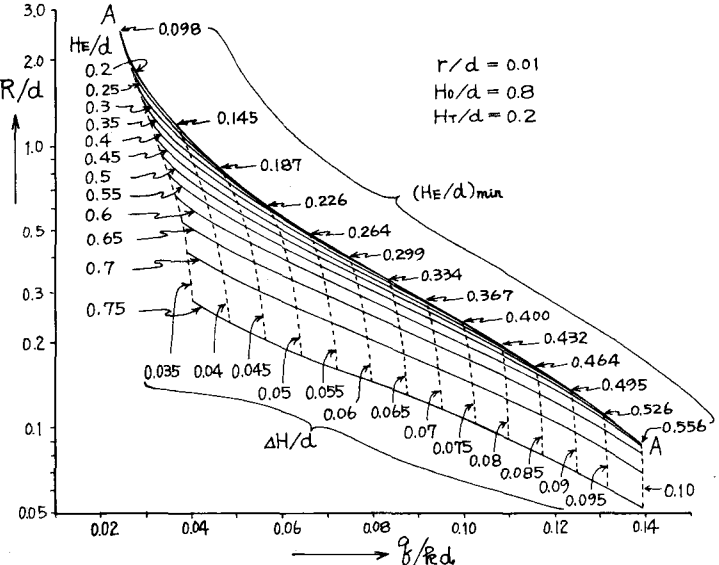


図-7 算定結果

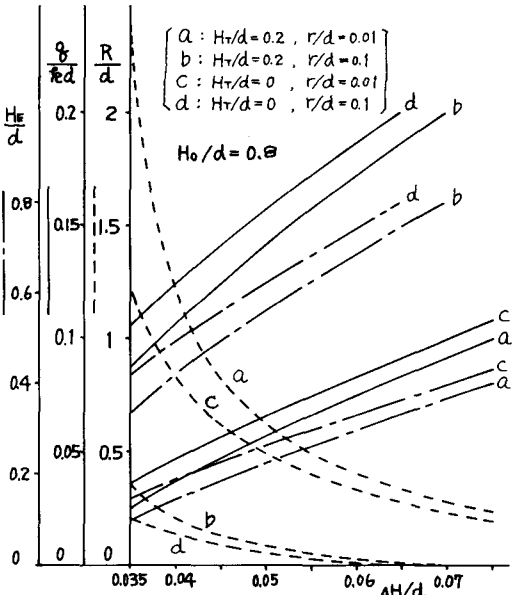


図-8 HE 最小時 ( $m=0$ ) の算定結果